

Modèle d'estimation de la biomasse herbacée à partir de données présence forêt/précipitation/fréquence feu en contexte forêt-savane

12 juillet 2024

Sur les figures 1 3 4, sont tracées en rose le "cône" de données relevées dans *Écosystèmes pâturés tropicaux : un rapport sur l'état des connaissances* [1]. Y sont superposées les fonctions de modélisation de la biomasse herbacée, S la croissance et η un coefficient multiplicatif représentant l'effet de la forêt (> 1 pour la facilitation et < 1 pour la compétition).

$$S: ([0, 3500], \mathbb{R}_+, [0, 3500]) \rightarrow [0, 1] \quad (1)$$

$$(W, \lambda, W_{\text{inflexion}}) \mapsto \frac{1}{1 + e^{-\lambda(W - W_{\text{inflexion}})}} \quad (2)$$

- W précipitation annuelle moyenne $\in [0, 3500]$ mm.yr-1
- λ un paramètre lié à la pente de la sigmoïde au point d'inflexion de la courbe, en yr.mm-1, qu'on a borné par un cône de valeurs possibles légèrement plus large que le cône rose des données UNESCO
- $W_{\text{inflexion}} \in [0, 3500]$ la précipitation en laquelle il y a le point d'inflexion, en mm.yr-1

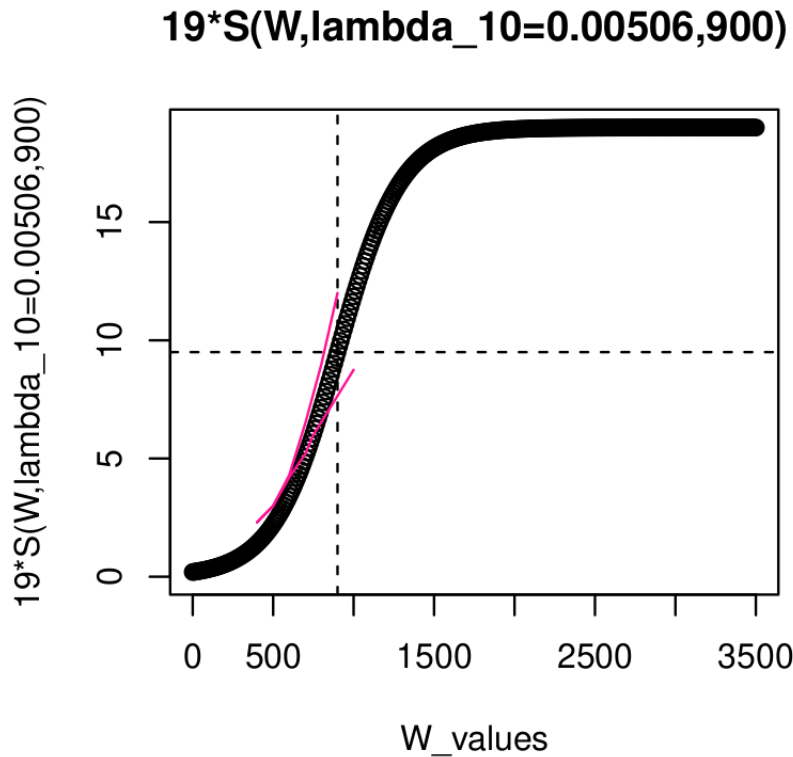


FIGURE 1 – $19S(W, \lambda = 0.000506, W_{\text{inflexion}} = 900 \text{ mm/yr})$

L'idée du modèle est de contrebalancer cette courbe théorique par la présence de feu et de forêt. On a utilisé pour cela les données de *canopy cover* et de *fréquence de feu*. La pluie et la présence de forêt interviennent en amont de l'estimation de biomasse et la fréquence de feu est l'élément qui sert effectivement à estimer les paramètres du modèle avec l'estimation Monte-Carlo Markov Chain.

La fonction centrale est donc celle qui relie l'estimation de biomasse herbacée \hat{G} à la fréquence de feu. Nous avons d'abord considéré une fonction de type :

$$\omega_{old}: ([0, 30], [0, 30]) \rightarrow [0, 1] \quad (3)$$

$$(\hat{G}, \alpha) \mapsto \frac{\hat{G}^2}{\hat{G}^2 + \alpha^2} \quad (4)$$

Nous avons finalement utilisé une fonction en reprenant Wilgen (2000) (figure 14)[2]. Le point d'inflexion est plus haut et donc la courbe est globalement "moins concave"

$$\omega: ([0, 30], [0, 30]) \rightarrow [0, 1] \quad (5)$$

$$(\hat{G}, b, offset) \mapsto \frac{1}{1 + \exp(-b\hat{G} + offset)} \quad (6)$$

Pour relier $\omega(\hat{G}, b, offset)$ aux observations réelles de feu, nous utilisons une loi normale d'écart-type σ_ξ :

$$p_{feu} \sim \mathcal{N}(\omega(\hat{G}, b, offset), \sigma_\xi) \quad (7)$$

Pour donner une idée de l'influence de σ_ξ sur le lien entre la valeur de feu prédite $\omega(\hat{G}, b, offset)$ et la valeur de feu observée p_{feu} , sur une courbe théorique :

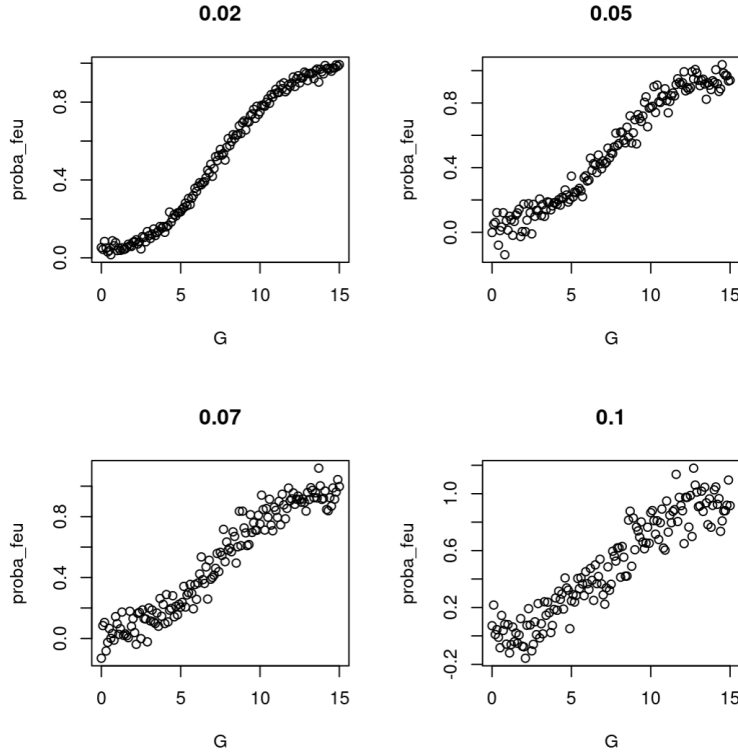


FIGURE 2 – $\omega(\hat{G}, b, offset) + \mathcal{N}(0, \sigma_\xi)$ pour différentes valeurs de σ_ξ

J'en ai tiré arbitrairement l'idée que $[0.02, 0.07]$ était un bon intervalle de valeurs pour σ_ξ .

Et pour inclure dans la figure 1 l'effet de la forêt, on la multiplie par la courbe S par la courbe η ci-dessous, fonction de la présence de forêt *canopy cover*.

$$\eta: ([0, 3500], \mathbb{R}_+, [0, 3500]) \rightarrow [0, 2] \quad (8)$$

$$(W, \delta, W_{\text{inflexion}}) \mapsto \frac{2}{1 + e^{\delta(W - W_{\text{inflexion}})}} \quad (9)$$

où δ un paramètre lié à la pente de la sigmoïde au point d'inflexion de la courbe, en yr.mm-1.

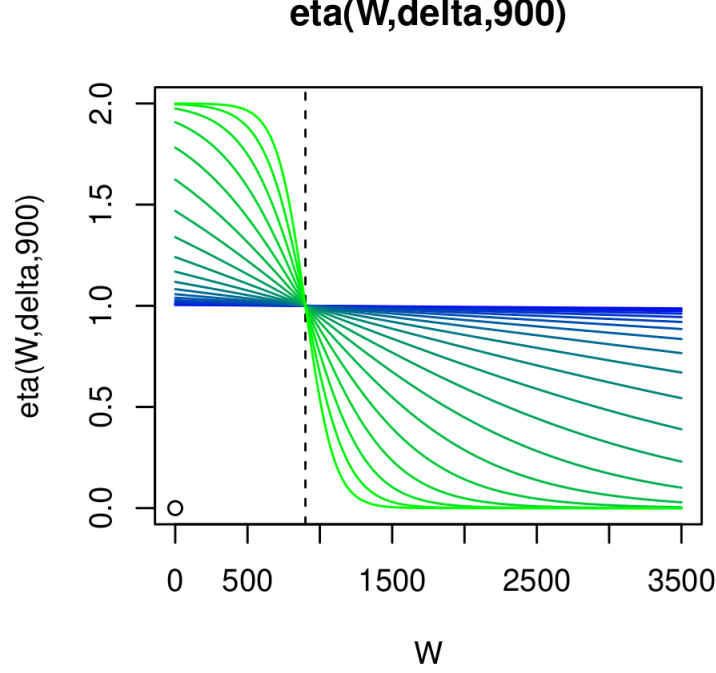


FIGURE 3 – $\eta(W, \delta, W_{\text{inflexion}} = 900 \text{ mm/yr})$ pour $\delta \in [\delta_{\min}, \delta_{\max}]$

Fixons $W_{\text{inflexion}}$, λ et δ . Pour tout W dans $[0, W_{\text{inflexion}}]$, on a $S(W) \in [0, \frac{1}{2}]$ et $\eta(W) \in [1, 2]$, de sorte que : $\forall W \in [0, W_{\text{inflexion}}], S(W)\eta(W) \in [0, 1]$. De même pour tout W dans $[W_{\text{inflexion}}, 3500]$, on a $S(W) \in [\frac{1}{2}, 1]$ et $\eta(W) \in [0, 1]$, de sorte que : $\forall W \in [0, W_{\text{inflexion}}], S(W)\eta(W) \in [0, 1]$. Ainsi :

$$\forall W \in [0, 3500], S(W)\eta(W) \in [0, 1] \quad (10)$$

Ceci est permis grâce au fait que $W_{\text{inflexion}}$ est le même pour S (figure 1) et η (figure 3).

Nous avons conçu δ non comme un paramètre général à estimer mais comme une fonction des données locales de couvert de canopée allant de δ_{\min} à δ_{\max} .

$$f: [0, 1] \rightarrow [\delta_{\min}, \delta_{\max}] \quad (11)$$

$$cc \mapsto \delta_{\min} + (1 - cc)(\delta_{\max} - \delta_{\min}) \quad (12)$$

Ainsi plus le couvert de canopée augmente (figure 3 : 0=bleu, 1=vert clair), plus l'influence de la compétition/facilitation sur la couche herbacée est forte. On note aussi que si on veut une influence nulle de cc lorsque cc est nulle, il nous faut un δ_{\min} suffisamment faible pour que la fonction $\eta(\delta_{\min})$ soit quasi-plate. Comme on le voit figure 4, $\delta_{\min} = 10^{-5}$ garantit de multiplier par η constante égale à 1.

Il nous faut garder à l'esprit que nos couverts de canopée retenus par GEDI correspondent aux savanes, et nous avons donc principalement retenu les couverts faibles. $f(cc)$ sera ainsi plus proche de δ_{\min} que de δ_{\max} pour la plupart de nos données.

Ainsi nous estimons la biomasse herbacée \hat{G} (t.ha-1) par :

$$\hat{G}(K_G, W, \lambda, cc, W_{\text{inflexion}}) = S(W, \lambda, W_{\text{inflexion}}) \eta(W, f(cc), W_{\text{inflexion}}) K_G$$

où K_G en t.ha-1 est la capacité de charge en herbacée maximale qu'on observerait même à W maximale et cc nulle.

Il découle de l'équation 10 que :

$$\forall W, \forall \lambda, \forall cc, \forall W_{\text{inflexion}}, \hat{G}(K_G, W, \lambda, cc, W_{\text{inflexion}}) \in [0, K_G]$$

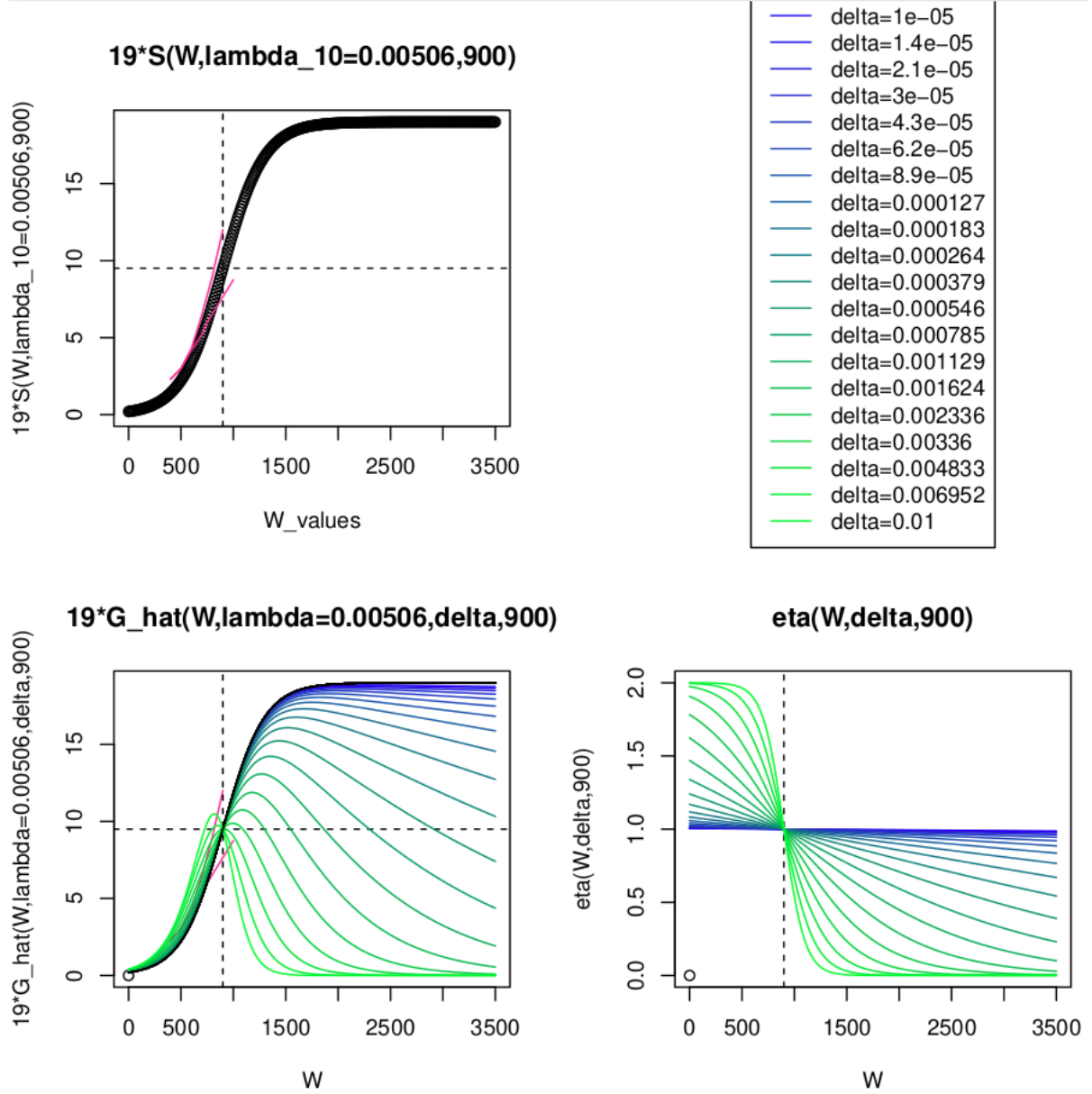


FIGURE 4 – Un exemple créé ex nihilo de $\hat{G}(K_G = 19, W, \lambda, cc, W_{\text{inflexion}})$ pour $\delta \in [10^{-5}, 10^{-2}]$

Model

```

model {

  for (i in 1:N){

    sigmo_pluie[i] = (1/ ( 1+ exp(-lambda*(prec_data[i]-pt_inflexion_grass)) ) )

    canopy_influence[i] = delta_min + cc_data[i]*(delta_max-delta_min)

    sigmo_forest_effect[i] = (2/(1+ exp(canopy_influence[i]*(prec_data[i]-pt_inflexion_grass)) ))

    grassB[i] = K_G_t_f_pluie_max*sigmo_pluie[i]*sigmo_forest_effect[i]

  }

  for (i in 1:N){
    fire_data[i] ~ dnorm( 1/( 1 + exp( -grassB[i]*b + offset ) ) , 1/sigma_xi**2)T(0,1)
  }

}

```

Parameters' ranges

Au final sur les valeurs qu'on autorise pour les paramètres (ranges), et accessoirement les priors :

parameter	range	prior	justification
K_G	on aimerait $[18,25]$ t.ha ⁻¹	uniforme	Pierre
$W_{inflexion}$	$[200,1400]$ mm.yr ⁻¹	$\mathcal{N}(600, \sigma = 600)$	Pierre
δ_{min}	fixé à 10^{-5}		permet $\eta \simeq 1$
δ_{max}	$[10^{-5}, 10^{-2}]$ (voire 10^{-1} ou 0)	uniforme sur le log	arbitraire
λ	$[0.0003, 0.009]$ yr.mm ⁻¹	uniforme	cône rose UNESCO[1]
σ_ξ	$[0.02, 0.07]$	uniforme	arbitraire
b	$[0.47, 0.51]$ tonne ⁻¹	uniforme	Wilgen[2]
offset	$[2.47, 3.47]$	uniforme	Wilgen[2]

Pour l'instant K_G tape systématiquement sur sa borne inférieure, quelque'elle soit, et si on le borne seulement par 0, on obtient une estimation qui n'a pas de sens de type $K_G \simeq 5$ t.ha⁻¹.

Références

- [1] UNESCO, éd. *Écosystèmes pâturés tropicaux : un rapport sur l'état des connaissances*. fr. Recherches sur les ressources naturelles 16. Paris : Unesco, 1981. ISBN : 978-92-3-201611-9.
- [2] B W van WILGENA. "A fire history of the savanna ecosystems in the Kruger National Park, South Africa, between 1941 and 1996". en. In : *South African Journal of Science* (2000).

Complete model

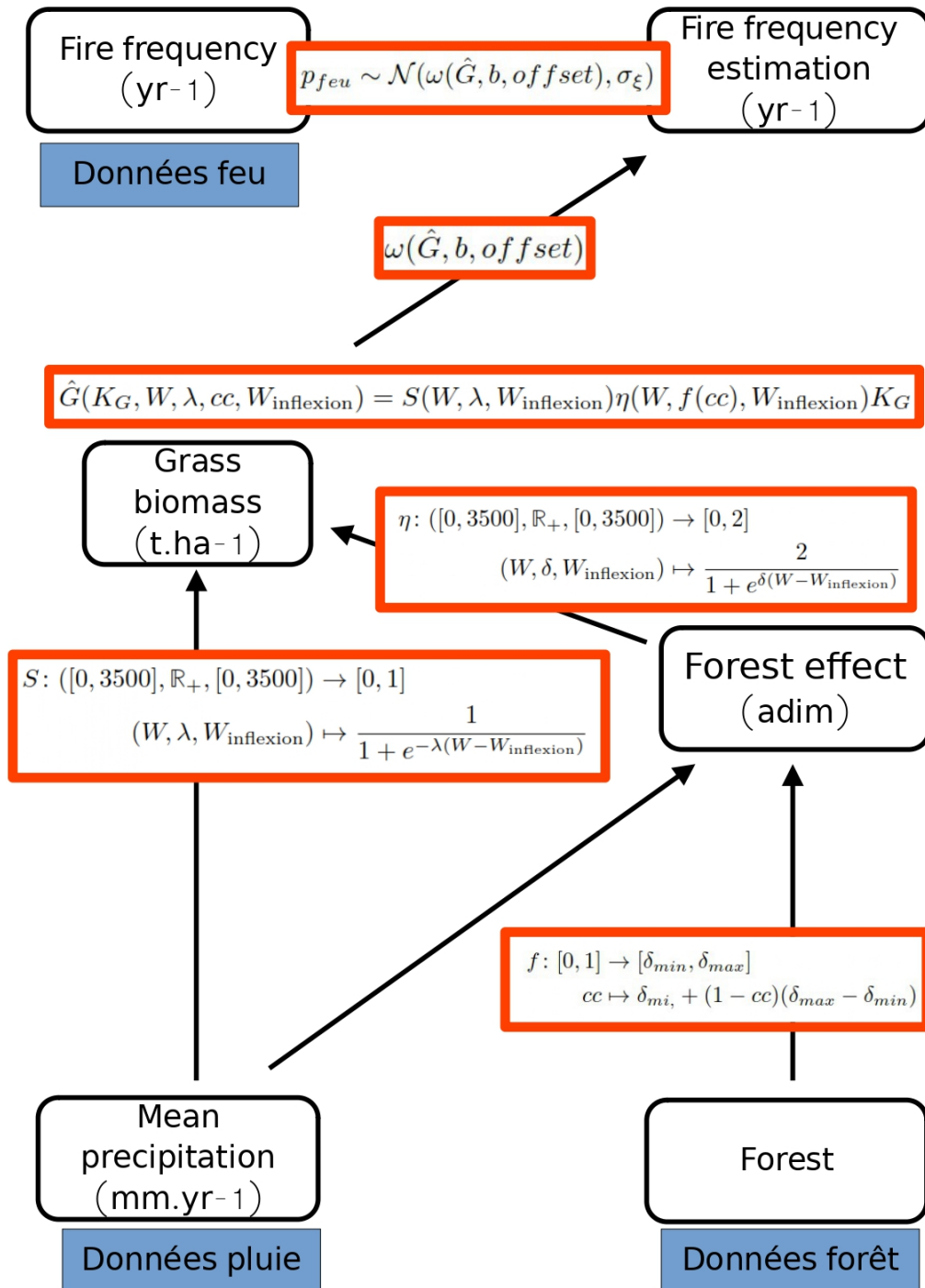


FIGURE 5 – Schéma du modèle complet

A hierarchical Model

```
model{  
  
  for (i in 1:N){  
  
    sigmo_pluie[i] = (1/ (1+ exp(-lambda[num_big_cell[i]]*(prec_data[i]-  
pt_inflexion_grass[num_big_cell[i]]))) ) )  
  
    canopy_influence[i] = delta_min + cc_data[i]*(delta_max[num_big_cell[i]]-delta_min)  
  
    sigmo_forest_effect[i] = (2/(1+ exp(canopy_influence[i]*(prec_data[i]-  
pt_inflexion_grass[num_big_cell[i]]))) ) )  
  
    grassB[i] = K_G_t_f_pluie_max[num_big_cell[i]]*sigmo_pluie[i]*sigmo_forest_effect[i]  
  }  
  
  for (i in 1:N){ fire_data[i] ~ dnorm( 1/( 1 + exp( -grassB[i]*b + offset[num_big_cell[i]] ) ) ,  
1/sigma_xi[num_big_cell[i]]**2)T(0,1) }
```

Notes annexes

Cette modélisation-ci oblige le point de bascule entre la facilitation et la compétition (le point d'inflexion de η) à coïncider avec le point d'inflexion de S . Cela me paraît mieux de d'abord tester ce cas simple avant d'éventuellement envisager de décorrélérer les deux points d'inflexion, ce qui rajouterait des paramètres à inférer et poserait peut-être des difficultés d'interprétation. J'avais choisi cette facilité car cela permettait de garantir aisément que pour tout W , $S(W)\eta(W) \in [0, 1]$.

On a renoncé à ajouter un facteur a dans les sigmoïdes :

$$\frac{1}{1 + e^{-a\lambda(W - W_{\text{inflexion}})}}$$

parce que ça change tout et les interprétations n'ont plus rien à voir.

b a assez peu d'importance au final dans l'équation 5, on pourrait le fixer :

```
lines(G,1/(1 + exp(-0.47*G+3.47)), col="skyblue") # année 1995 (Wilgen 2000)
lines(G,1/(1 + exp(-0.51*G+2.47)), col="red") # année 1996 (Wilgen 2000), severe fire weather conditions
# si on élargit un peu
lines(G,1/(1 + exp(-0.47*G+4.00)), col="cyan")
lines(G,1/(1 + exp(-0.51*G+2.00)), col="darkred")
```

